На правах рукописи

Дубровин Кирилл Алексеевич

# ВЛИЯНИЕ КОНДЕНСАЦИИ НА СТРУКТУРУ И ПОСЛЕСВЕЧЕНИЕ СВЕРХЗВУКОВОЙ НЕДОРАСШИРЕННОЙ РАЗРЕЖЕННОЙ СТРУИ АРГОНА

1.3.14. Теплофизика и теоретическая теплотехника

## **АВТОРЕФЕРАТ**

диссертации на соискание ученой степени кандидата физико-математических наук

Работа выполнена в Федеральном государственном автономном образовательном учреждении высшего образования «Новосибирский национальный исследовательский государственный университет».

Научный руководитель: кандидат физико-математических наук

Зарвин Александр Евгеньевич

Официальные оппоненты: Быков Николай Юрьевич

доктор физико-математических наук, профессор,

Федеральное государственное автономное образовательное учреждение высшего образования «Санкт-Петербургский политехнический государственный университет имени Петра Великого», профессор кафедры физики, главный научный сотрудник лаборатории «Вычислительная физика»

Рудяк Валерий Яковлевич

доктор физико-математических наук, профессор,

Федеральное государственное бюджетное образовательное учреждение высшего образования «Новосибирский государственный архитектурно-строительный университет (Сибстрин)», профессор кафедры теоретической механики

Федеральное государственное бюджетное образовательное Ведущая организация:

учреждение высшего образования «Санкт-Петербургский

государственный университет»

Защита состоится « 04 » июня 2025 г. в 9 часов 30 минут на заседании диссертационного совета 24.1.129.01 при Федеральном государственном бюджетном учреждении науки Институт теплофизики им. С.С. Кутателадзе Сибирского отделения Российской академии наук по адресу: 630090, г. Новосибирск, пр. Академика Лаврентьева, 1.

С диссертацией можно ознакомиться в библиотеке и на сайте Федерального государственного бюджетного учреждения науки Институт теплофизики им. С.С. Кутателадзе Сибирского отделения Российской академии наук: http://www.itp.nsc.ru/.

Отзыв на автореферат, заверенный печатью учреждения, просьба отправлять на имя ученого секретаря диссертационного совета по адресу: 630090, г. Новосибирск, пр. Академика Лаврентьева, д. 1 (e-mail: dissovet@itp.nsc.ru).

Автореферат разослан «\_\_\_» апреля 2025 г.

Ученый секретарь диссертационного совета д.ф.-м.н., профессор РАН,

Терехов Владимир Викторович

## ОБЩАЯ ХАРАКТЕРИСТИКА РАБОТЫ

Актуальность работы. Исследования процессов истечения газов (газовых смесей) из сопла в разреженное пространство, обусловленные как созданием и эксплуатацией ракетных двигателей, так и анализом физико-химических процессов, проводятся на протяжении нескольких десятков лет. За продолжительный период времени было опубликовано немало работ, посвященных изучению природы разреженных газовых потоков [1-2], а также методам и средствам их диагностики <sup>[3-4]</sup>. Экспериментальное моделирование в данной области является актуальной и сложной научно-технической задачей, решение которой позволяет воссоздавать и изучать распределение параметров различных течений. Так, например, при разработке космических аппаратов (КА) нового поколения предварительные наземные исследования позволяют заблаговременно определить структуру струй при различных параметрах расхода газа и внешних условиях в окружающем пространстве [5-6], выявить влияние истекающего газа на собственную атмосферу аппарата <sup>[7]</sup> и взаимодействие потока с поверхностями аппарата <sup>[8]</sup>, приводящее к их загрязнению. Однако проведение подобных исследований в лабораторных условиях при комнатной температуре сопряжено с развитием процесса конденсации и формированием кластеров различных размеров [9-10]. Кластеры, объединенные слабыми силами Ван-дер-Ваальса, обладают уникальными свойствами, что нашло немало прикладных применений в различных технологиях: фуллерены и фуллереноподобные частицы; тонкопленочные покрытия с новыми свойствами; травление подложек, имплантация атомов на малые глубины; сверхгладкая полировка поверхностей твердых тел; внутрикластерный энергообмен; химические реакции и др. Однако вопросы влияния развитой конденсации на процессы, протекающие в сверхзвуковых разреженных струях, до сих пор слабо изучены. Так, например, в работах отдела прикладной физики ФФ НГУ [11] методом электронно-пучковой диагностики было обнаружено, что в условиях развитой конденсации помимо типичной веретенообразной струи образуется вторичный поток, обладающий большими размерами, сложной структурой и слабозатухающим послесвечением, не нашедший описания в научной литературе. Это побудило к проведению комплексного исследования влияния конденсации на протекающие в потоке газодинамические и молекулярно-кинетические процессы.

**Целью работы** является изучение влияния конденсации на структуру и послесвечение сверхзвуковой недорасширенной кластированной струи аргона.

Дулов В.Г., Лукьянов Г.А. Газодинамика процессов истечения. − Новосибирск: Наука, 1984. − 235 с.

<sup>2</sup> Герасимов Ю.И., Ярыгин В.Н. Истечение струй идеального и реальных газов из осесимметричных сопел. Вопросы подобия. 1. Истечение струй в вакуум // ФХКГД. – 2012. – Т.13, N.1. – С.1–22.

Gochberg L.A. Elecron beam fluorescence methods in hypersonic aerothermodynamics // Prog. Aerospace Sci. – 1997. – V.33. – P.431–80.

<sup>&</sup>lt;sup>4</sup> Zarvin A.E., Sharafutdinov R.G. Influence of a stream perturbation before the skimmer on molecular–beam parameters // J. Appl. Mech. Tech. Phys. – 1978. – V.19. – P.321–4.

<sup>&</sup>lt;sup>5</sup> Yarygin V.N., Gerasimov Yu.I., Krylov A.N., et al. Gas Dynamics of Spacecraft and Orbital Stations (Review) // Thermophys. Aeromech. – 2011. – V.18, N.3. – P.333–58.

Patel M., Thomas J., Joshi H.C. Experimental investigation of rarefied flows through supersonic nozzles // Vacuum. – 2023. – V.211. – P.111909.

Dupeyrat G., Giat M. Experimental study of velocities in a free jet in a rarefied atmosphere //AIAA Journal. – 1976. – V.14, N.12. – P. 1706-8.

Yamazaki S. et al. The Experimental Study of Impinging Interaction of Rarefied Gas Jet With Plane Wall Using LIF Method // FEDSM. – 2011. – V.44403. – P.2811-16.

<sup>&</sup>lt;sup>9</sup> Hagena O.F. Cluster ion sources // Rev. Sci. Instrum. – 1992. – V.63. – P.2374-9.

 $<sup>^{10}\,</sup>$  Buck U., Krohne R. Cluster size determination from diffractive He atom scattering // J. Chem. Phys. - 1996. - V.105, N.13. - P.5408.

<sup>&</sup>lt;sup>11</sup> Зарвин А.Е. и др. О структуре сверхзвуковой струи в условиях развитой конденсации // ПЖТФ. -2015.-T.41, N.22. -C.74-81.

## Задачи диссертационной работы:

- 1. адаптировать и валидировать методы и средства диагностики на газодинамической установке ЛЭМПУС-2 для проведения исследования в кластированных сверхзвуковых разреженных потоках;
- 2. провести измерения геометрических характеристик сверхзвуковой недорасширенной струи аргона в условиях развитой конденсации; провести сопоставление с известными данными и теоретическими моделями;
- 3. исследовать процесс взаимодействия кластированного потока с фоновым газом;
- 4. провести исследования люминесценции атомов и кластеров во всей области течения сверхзвуковой недорасширенной струи аргона, возбужденной электронным пучком; построить эмпирическую модель послесвечения.

**Объектом исследования** является сверхзвуковая недорасширенная струя аргона, истекающая в разреженное пространство в условиях развитой конденсации.

**Предметом исследования** являются структура и послесвечение недорасширенной кластированной струи аргона низкой плотности.

Научная новизна полученных результатов заключается в следующем:

- предложена эмпирическая поправка, учитывающая процесс конденсации, к существующей модели, связывающей начальные параметры истечения с поперечным размером формируемой струи;
- экспериментально показано, что взаимодействие кластеров с фоновым газом приводит к фрагментации кластеров и подавлению проникания частиц фонового газа в центральную область истекающей струи;
- впервые зарегистрировано явление послесвечения вторичного течения за пределами сжатого слоя, инициированного кластерами, прошедшими висячий скачок, при возбуждении частиц высоковольтным пучком электронов;
- на основе анализа спектрального состава послесвечения установлена роль кластеров в наблюдаемом излучении в видимом диапазоне спектра.

Имеющиеся литературные данные не позволяют в полной мере корректно объяснить эффекты преодоления кластерами висячих скачков, особенности излучения кластеров в потоке, не предоставляют моделей передачи энергии внутри потока и с окружающим фоновым пространством, что обуславливает научную новизну и значимость проведенных исследований и полученных в работе результатов.

Теоретическая и практическая значимость. Представленные в работе результаты расширяют теоретические представления о сложных процессах, протекающих в сверхзвуковых струях, истекающих в разреженное пространство в условиях развитой являться полезным для исследовательских институтов, конденсации, ЧТО может занимающихся изучением Ван-дер-Ваальсовых кластеров и их физико-химических свойств (Институт теплофизики им. С.С. Кутателадзе СО РАН, Институт теоретической и прикладной механики им. С.А. Христиановича СО РАН, Московский государственный университет им. М.В. Ломоносова, Санкт-Петербургский политехнический университет Петра Великого и др.). С практической точки зрения полученные в работе данные позволяют составить рекомендации ПО эксплуатации малогабаритных лабораторных установок экспериментального моделирования истечения продуктов сгорания из сопел КА, ввести и табулировать поправки к применяемым диагностическим методам, что может оказаться ценным, например, для организаций космической промышленности (Ракетно-космическая корпорация «Энергия» им. С.П. Королёва, Центральный научно-исследовательский институт

машиностроения, Государственная корпорация по космической деятельности «Роскосмос» и др.). Проведенное комплексное исследование позволяет сделать существенный шаг в изучении физических процессов с участием Ван-дер-Ваальсовых кластеров, что углубит и расширит области их прикладного применения.

#### Основные положения, выносимые на защиту:

- 1. эмпирическая поправка, учитывающая процесс конденсации частиц, к известной зависимости, связывающей начальные параметры истечения и поперечный размер формируемой струи;
- 2. результаты экспериментальных исследований взаимодействия частиц кластированного потока с фоновым окружением (проникание и рассеяние);
- 3. результаты исследования обнаруженного послесвечения вторичного течения за пределами сжатого слоя, инициированного кластерами, прошедшими висячий скачок, при возбуждении частиц высоковольтным пучком электронов;
- 4. эмпирическая модель послесвечения кластированного потока, основанная на взаимодействии кластеров с фоновым газом.

Достоверность результатов обеспечивается использованием современных измерительных методик, проведением калибровочных работ, анализом погрешностей воспроизводимостью результатов проведенных измерений, И ИХ сравнением опубликованными данными исследователей, полученными других различными измерительными методами и численными расчетами.

**Личный вклад автора** состоял в постановке цели исследования, формулировке задач, разработке программы экспериментов, проведении измерений, обработке данных, анализе и интерпретации результатов, а также подготовке докладов для конференций и написании статей для публикации в высокорейтинговых журналах. Основные научные результаты, включенные в диссертационную работу и выносимые на защиту, получены соискателем лично или при его прямом участии.

Исследования по тематике диссертационной работы выполнены при финансовой поддержке Российского фонда фундаментальных исследований (проект №20-01-00332), Российского научного фонда (проекты №22-11-00080, №22-19-00750) и Министерства образования и науки РФ (проекты 3.5918.2017/ИТР, 3.5920.2017/ИТР, FSUS-2020-0039).

Апробация результатов. Основные результаты представлены в виде докладов, сделанных лично автором диссертационной работы или в соавторстве с научным коллективом, на различных студенческих, всероссийских и международных конференциях: Международная научная студенческая конференция; Научно-техническая конференция с участием зарубежных специалистов «Вакуумная наука и техника»; Международная конференция по прикладной математике и механике в аэрокосмической отрасли; Всероссийская конференция «Сибирский теплофизический семинар»; Всероссийский семинар с международным участием по струйным, отрывным и нестационарным течениям; Всероссийская научная конференция «Теплофизика И физическая гидродинамика»; Всероссийской научно-технической конференции «Вакуумная международным участием техника и технологии»; Международная конференция «Современные проблемы теплофизики и энергетики»; Всероссийская конференция с международным участием «Физика низкотемпературной плазмы»; International Conference on the Methods of Aerophysical Research; International Symposium on Rarefied Gas Dynamics; Международная научно-техническая конференция «Оптические методы исследования потоков»; Всероссийская научная конференция студентовфизиков и молодых ученых; Международный симпозиум по неравновесным процессам, плазме, горению и атмосферным явлениям.

**Публикации автора.** Список публикаций по теме диссертационной работы включает более 50 печатных работ, в том числе 13 статей во российских и зарубежных периодических рецензируемых научных изданиях, рекомендованных ВАК для представления основных результатов диссертационной работы (см. стр. 17), а также 16 материалов и более 20 тезисов конференций.

Структура и объём диссертационной работы. Диссертационная работа состоит из введения, пяти глав, заключения, списка литературы и двух приложений. Работа изложена на 139 страницах печатного текста, включая 48 рисунков, 15 таблиц и библиографический список из 194 наименований.

## ОСНОВНОЕ СОДЕРЖАНИЕ РАБОТЫ

Во введении обоснована актуальность темы диссертационной работы, определены цель и задачи, выделена новизна, описана научная и практическая значимость полученных результатов, аргументирована их достоверность, сформулированы выносимые на защиту положения, тезисно изложены структура и объем диссертации, а также обозначен личный вклад автора.

Первая глава посвящена описанию современного представления о сверхзвуковых разреженных кластированных газовых потоках и методах их исследования. В §1.1 представлены особенности истечения неконденсирующегося газа в разреженную среду, введены общепринятые величины для характеризации потоков, истекающих из сопла в разреженную среду. В §1.2 обсуждена возможность моделирования процесса истечения на малогабаритных лабораторных установках с использованием параметров подобия, а также рассмотрены известные методы диагностики разреженных газовых потоков. В §1.2.1 представлены варианты использования пучка электронов для проведения количественных и качественных измерений. В частности, даётся теоретическое и практическое обоснование возможности использования электронно-пучковой диагностики для измерения численной плотности (§1.2.1.1), скорости и поступательной температуры (§1.2.1.2), вращательной температуры частиц потока (§1.2.1.3), а также для визуализации поля течения струи (§1.2.1.4). В §1.2.2 представлено описание метода молекулярно-пучковой диагностики, а также обозначены технологические требования к экспериментальному участку для достижения неинвазивности методики. В деталях рассмотрена методика исследования процесса рассеяния частиц на фоновом газе. В §1.3 приведено современное представление о конденсации газа в сверхзвуковом потоке и о взаимодействии кластеров с электронами диагностического пучка. В §1.3.1 описаны теоретические аспекты процесса конденсации от димеризации до формирования макрочастиц, введены характеристические параметры, рассмотрены и сопоставлены имеющиеся в литературе модели оценки среднего размера формируемых в потоке кластеров  $\langle S \rangle^{[9-10]}$ . В §1.3.2 структурированы и проанализированы имеющиеся в литературе сведения о процессах ионизации, возбуждения и излучения кластеров при взаимодействии с электронами различной энергии, рассмотрены сопряженные процессы фрагментации, испарения, деструкции и внутреннего энергообмена. В заключении главы выделены аспекты газовой динамики и молекулярной кинетики, влияние конденсации на которые слабо изучено, на основании чего сформулированы задачи исследования.

**Вторая глава** посвящена описанию экспериментального оборудования, а также адаптации и валидации методик диагностики. В **§2.1** рассмотрено устройство

газодинамического стенда ЛЭМПУС-2 [12] (**рисунок 1**), описаны его ключевые узлы, перечисленные основные технические спецификации. Отдельное внимание уделено модификациям, выполненным в контексте настоящей работы.

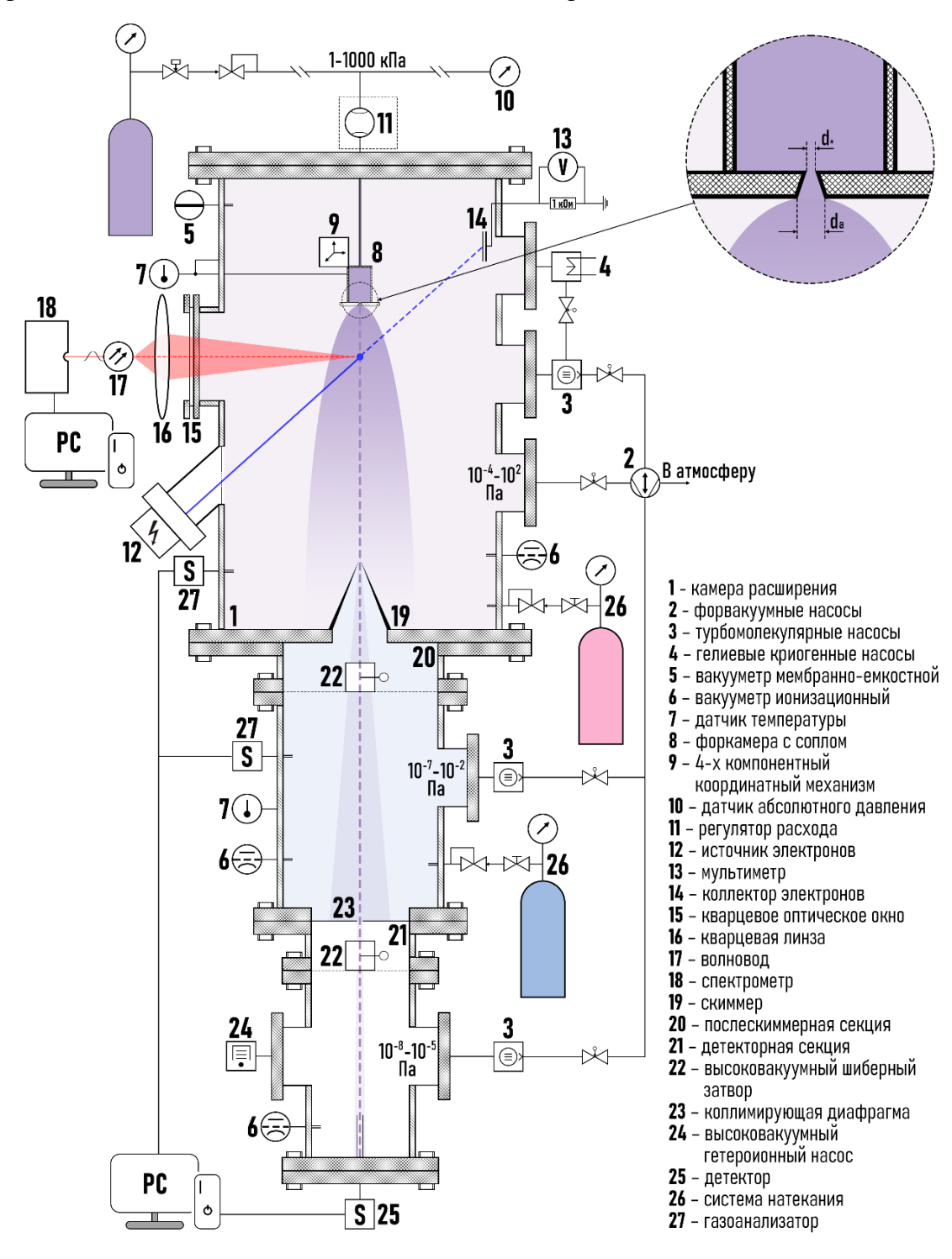
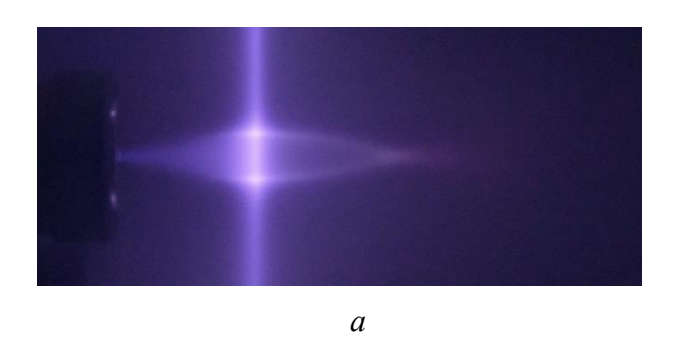


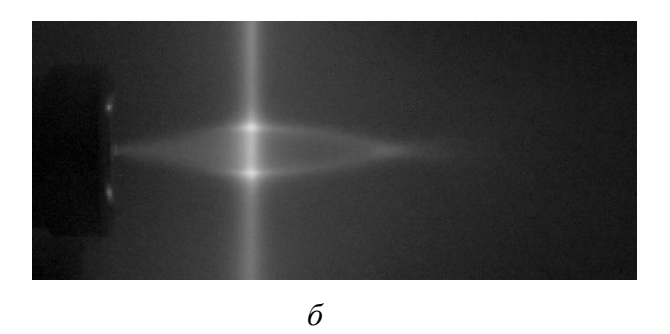
Рисунок 1 — Схематический вид газодинамического стенда «ЛЭМПУС-2».

В §2.2 представлено описание модуля электронно-пучковой диагностики и различных оптических трактов, реализованных для решения поставленных задач. В §2.2.1 описан процесс валидации метода визуализации разреженного газового потока, а также отладки способа обработки изображений (рисунок 2) и метризации линейных размеров (измерение радиуса струи в максимальном сечении  $r_{\rm m}$ ).

-

<sup>&</sup>lt;sup>12</sup> Zarvin A.E., Kalyada V.V., et al. Condensable supersonic jet facility for analyses of transient low–temperature gas kinetics and plasma chemistry of hydrocarbons // IEEE Trans.Plas.Sci. – 2017. – V.45. – P.819-27.





**Рисунок 2** — Визуализация сверхзвуковой недорасширенной струи аргона (a — первичная фотография,  $\delta$  — после обработки). СЗС, d\*=1.0 мм,  $P_0=17.5$  кПа,  $T_0=302.2$  К,  $P_\infty=2.5$  Па.

Валидация метода осуществлена путём сопоставления экспериментальных данных, полученных в условиях пренебрежимо малой конденсации, с литературной зависимостью [13]:

$$r_{\rm m}/r_{\rm a} = k_0 \left(N/\overline{F}\right)^{0.5} \operatorname{tg}\theta_{\rm m},\tag{1}$$

где  $k_0$  – постоянный коэффициент;  $N = P_0/P_\infty$  – степень расширения струи по давлению;  $P_0$  – давление торможения;  $P_\infty$  – противодавление;  $\overline{F} = \frac{d_a^2}{d_*^2}$  – степень расширения сопла по площади;  $r_a$ ,  $d_a$  – радиус и диаметр выходного сечения сопла;  $d_*$  – диаметр критического сечения сопла;  $\gamma$  – показатель адиабаты;  $\theta_{\rm m} = {\rm arctg} \sqrt{\frac{1-\overline{J}}{\overline{J}}}$  – угол расширения струи;

$$\overline{J} = \left(1 + \frac{1}{\gamma M_a^{-2}}\right) \left(1 + \frac{2}{\gamma - 1} \frac{1}{M_a^{-2}}\right)^{-0.5} - \text{относительный импульс газа на срезе сопла; } M_a - \text{число}$$

Маха на выходном срезе сопла.

Сопоставление показало хорошее совпадение ( $\Delta$  < 2.5%) при  $k_0$  = 2.03. Отличие значения численного коэффициента от представленного в работе <sup>[13]</sup> поясняется проведением измерений в потоке аргона, использованием геометрической оценки  $M_a$  и определением понятия радиуса струи вместе с зоной смешения, что не меняет принципиальный вид зависимости, а лишь вносит уточнение в значение  $k_0$ .

В **§2.2.2** описаны особенности спектрального анализа инициированного электронным пучком излучения, продемонстрирован созданный рабочий участок и варианты его использования, рассмотрены спектры излучения чистых газов (Ar,  $N_2$ ,  $CO_2$ ) и смесей (Ar+ $N_2$ , Ar+ $CO_2$ , Ar+ $O_2$ , Ar+ $O_2$ , Ar+ $O_3$ , Pacшифрованные с использованием литературных данных по спектральным характеристикам излучательных переходов [14-15] (**Приложение A**).

В §2.2.3 описан процесс адаптации и валидации спектральных методов измерения численной плотности и температуры частиц газового потока. Зарегистрированные осевые профили численной плотности  $n/n_0$  ( $x/d_*$ ) в потоках аргона и азота, истекающих из звукового сопла в условиях пренебрежимо малой конденсации, сопоставлены с численными расчетами,

<sup>13</sup> Герасимов Ю.И., Ярыгин В.Н. Истечение струй идеального и реальных газов из осесимметричных сопел. Вопросы подобия. 2. Истечение в затопленное пространство // ФХКГД. – 2012. – Т.13, N.2. – С.1-26.

<sup>&</sup>lt;sup>14</sup> Бочкарев А.А., Косинов В.А., Ребров А.К., Шарафутдинов Р.Г. Измерения параметров газового потока с помощью электронного пучка // Эксп. методы в дин. разреж. газов. Новосибирск: Ин–т теплофизики СО АН СССР. – 1974. – С.98–137.

Kazakov V.V., Kazakov V.G., Kovalev V.S., et al. Electronic structure of atoms: atomic spectroscopy information system // Physica Scripta. – 2017. – V.92, N.10. – P.105002.

полученными совместно с сотрудниками ИТПМ СО РАН [16], а также с изоэнтропической зависимостью [17]:

$$\frac{n}{n_0} = \left(1 + \frac{\gamma - 1}{2} M^2\right)^{\frac{1}{1 - \gamma}}, \quad \frac{T}{T_0} = \left(1 + \frac{\gamma - 1}{2} M^2\right)^{-1}, \quad M(x) = A_* \left(\frac{x - x_*}{d_*}\right)^{\gamma - 1} - \frac{1}{2} \frac{\gamma + 1}{\gamma - 1} \left(A_* \left(\frac{x - x_*}{d_*}\right)^{\gamma - 1}\right)^{-1}, \quad (2)$$

где  $n_0$  и  $T_0$  – плотность и температура газа до расширения;  $A_*$  и  $x_*$  – константы, зависящие от  $\gamma$  и определяемые расчетным или экспериментальным путём. Показано [18], что внутри ядра струи расширение газа происходит согласно (2), а в дальнем поле течения наблюдается отклонение, обусловленное образованием прямой ударной волны.

В свою очередь, измерения температуры молекул азота по распределению интенсивности R-ветви колебательной полосы (0-1) 1ОС, полученные в фоновом окружении и в потоке  $^{[19]}$ , с хорошей точностью ( $\Delta \sim 2\%$  в фоновом газе и  $\Delta \sim 15$ -20% в сверхзвуковом потоке  $^{[20]}$ ) соответствуют значениям, измеренным на стенках камеры расширения и оцененным по (2), соответственно.

В **§2.3** представлены спецификации модуля молекулярно-пучковой диагностики и описан процесс адаптации метода измерения полного сечения упругого рассеяния частиц потока на фоновом газе  $\sigma_b$ . Значения амплитуды сигнала на оси пучка A в диапазоне давления в послескиммерной секции  $P_{\rm ps}$   $10^{-4}$ – $10^{-2}$  Па хорошо ( $\Delta$  < 6%) описываются экспоненциальной зависимостью [21]:

$$\frac{A}{A_{\text{max}}} = \exp\left\{-\sigma_{\text{b}} \cdot \frac{P_{\text{ps}}}{k_{\text{B}} \cdot T_{\text{ps}}} \cdot L_{\text{ps}}\right\},\tag{3}$$

где  $A_{\rm max}$  — значение A при  $P_{\rm ps}$   $\rightarrow$  0;  $T_{\rm ps}$  — температура фоновых частиц;  $k_{\rm B}$  — постоянная Больцмана;  $L_{\rm ps}$  — длина послескиммерной секции. Валидация проведена путём сопоставления полученных в неконденсирующемся потоке азота и аргона значений (29 и 42 Ų) с представленными в литературе данными [22-23].

**Третья глава** посвящена исследованию влияния конденсации на структуру и размеры сверхзвукового потока аргона. Показано, что развитие процесса конденсации при определенных газодинамических параметрах истечения приводит к формированию вторичного потока, внешнего по отношению к «традиционной» струе, обладающего схожей формой, но со значительно бо́льшими размерами и слабозатухающим послесвечением при возбуждении частиц потока пучком электронов (**рисунок 3**). Установлено, что он не наблюдается за соплами большого диаметра, при малых значениях давления торможения, в потоках слабоконденсирующихся газов, образуется в определенном диапазоне значений числа

<sup>&</sup>lt;sup>16</sup> Zaitsev A.V., Yarkov L.V., et al. Jet expansion into the vacuum chamber: Kinetic-continuum computations and validation against experiments // AIP Conf. Proc. – 2024. – V.2996 – P.080014.

Ashkenas H., Sherman F.S. The structure and utilization of supersonic free jets in low density wind tunnels // Proc. 4th Int. Symp. on Rarefied Gas Dyn. – 1964. – V.2, N.7. – P.84–105.

Dubrovin K.A., Yarkov L.V., Zarvin A.E., Zaitsev A.V., et al. Numerical and Experimental Simulation of Supersonic Gas Outflow into a Low-Density Medium // Aerospace. – 2024. – V.11, N.11. – P.905.

<sup>19</sup> Деринг Е.Д., Дубровин К.А., Зарвин А.Е., Каляда В.В. Использование электронно-пучковой спектроскопии для определения вращательной температуры в сверхзвуковом кластированном потоке // Материалы XL Сибирского теплофизического семинара. – 2024. – С.168.

Muntz E.P. Static Temperature Measurements in a Flowing Gas // Phys. Fluids. – 1962. – V.5. – P.80.

<sup>&</sup>lt;sup>21</sup> Калинин А.П., Родионова И.П., Родионов И.Д. Метод рассеяния быстрых молекулярных пучков как инструмент изучения свойств вещества // ФХКГД. – 2007. – В.5. – С.1–135.

Phelps A.V. Cross Sections and Swarm Coefficients for Nitrogen Ions and Neutrals in N2 and Argon Ions and Neutrals in Ar for Energies from 0.1 eV to 10 keV // J. Phys. Chem. Ref. Data. – 1991. – V.20, N.3. – P.557-73.

Nenner T., Tien H., Fenn J.B. Total cross section measurements for the scattering of argon by aliphatic hydrocarbons // J. Chem. Phys. – 1975. – V.63, N.12. – P.5439–44.

Рейнольдса  $Re_L = Re_*/\sqrt{N}$  [24] и характеризуется падением плотности вниз по течению. На основании данных источников [25-26] выдвинуто предположение, что этот поток содержит кластеры, прошедшие висячие скачки, ввиду чего он получил название «кластерный след» [11].

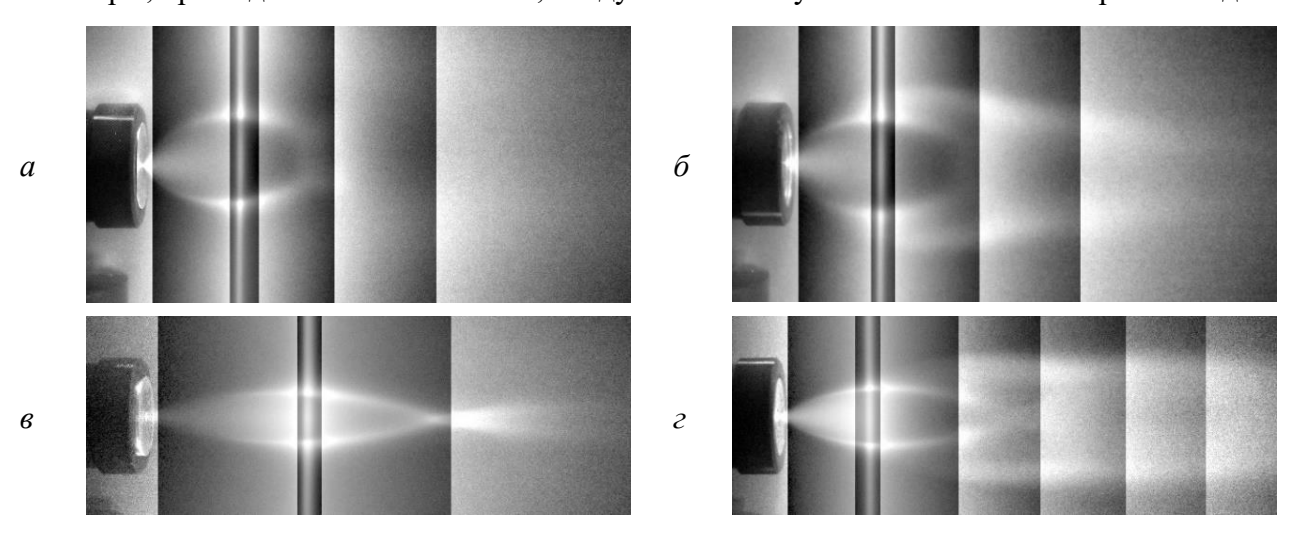


Рисунок 3 – Визуализация потоков аргона, истекающих из различных сопел.

- (a) 3C, d\* = 1.12 MM,  $P_0 = 30$  K $\Pi a$ ,  $T_0 = 301.1$  K,  $P_\infty = 6.0$   $\Pi a$ ,  $\langle S \rangle = 9$ ;
- (6) 3C, d\* = 0.24 MM,  $P_0 = 600$  K $\Pi$ a,  $T_0 = 298.4$  K,  $P_{\infty} = 6.0$   $\Pi$ a,  $\langle S \rangle = 181$ ;
- (6) C3C,  $d^* = 1.00 \text{ MM}$ ,  $P_0 = 35 \text{ kHa}$ ,  $T_0 = 298.3 \text{ K}$ ,  $P_\infty = 2.68 \text{ Ha}$ ,  $\langle S \rangle = 56$ ;
- (ε) C3C,  $d_*$  = 0.24 mm,  $P_0$  = 680 κΠa,  $T_0$  = 303.4 K,  $P_\infty$  = 6.0 Πa,  $\langle S \rangle > 1400$ .

Для выявления влияния начальных параметров истечения на структуру потока аргона, истекающего из сверхзвукового сопла в условиях развитой конденсации, в §3.1 представлены независимые серии измерений с вариацией одной из величин при поддержании других постоянными.

При вариации  $P_{\infty}$  (§3.1.1) установлено, что его увеличение приводит к уменьшению размеров струи, что согласуется с (1), а также к сужению «кластерного следа», что обусловлено фрагментацией и отклонением кластеров в сторону оси потока при столкновении с фоновыми частицами. При малых значениях  $P_{\infty}$  послесвечение «кластерного следа» не наблюдается.

При вариации  $P_0$  (§3.1.2) установлено, что его увеличение приводит к увеличению размеров струи, что также согласуется с (1), а также к увеличению интенсивности послесвечения «кластерного следа», что поясняется ростом доли конденсата. В то же время, с ростом  $P_0$  увеличивается значение  $Re_L$ , ввиду чего преодоление кластерами висячих скачков затруднено, из-за чего рост интенсивности послесвечения непропорционален.

При вариации  $T_0$  (§3.1.3) установлено, что её увеличение, вопреки модели (1), в условиях развитой конденсации приводит к уменьшению размеров струи и «кластерного следа», что поясняется смещением фронта конденсации вниз по потоку.

Для валидации модели (1) в §3.2 проанализированы значения  $r_{\rm m}$ , полученные в режимах с развитой конденсацией. Установлено, что при вариации  $P_{\infty}$  значения  $r_{\rm m}$  хорошо ( $\Delta < 1.5\%$ ) описываются (1), но при  $k_0 = 2.17$ . В свою очередь, при вариации  $P_0$  результаты описать зависимостью (1) с использованием постоянного  $k_0$  невозможно, как и результаты измерений

<sup>&</sup>lt;sup>24</sup> Кисляков Н.И., Ребров А.К., Шарафутдинов Р.Г. Диффузионные процессы в зоне смешения сверхзвуковой струи низкой плотности // ПМТФ. -1973. -№ 1. -C.121-7.

<sup>&</sup>lt;sup>25</sup> Новопашин С.А., Перепелкин А.Л., Ярыгин В.Н. Взаимодействие кластеров СО2 с диском Маха // Физика кластеров. Сб. науч. тр., СО АН СССР, Ин–т теплофизики, Новосибирск. – 1987. – С.169–72.

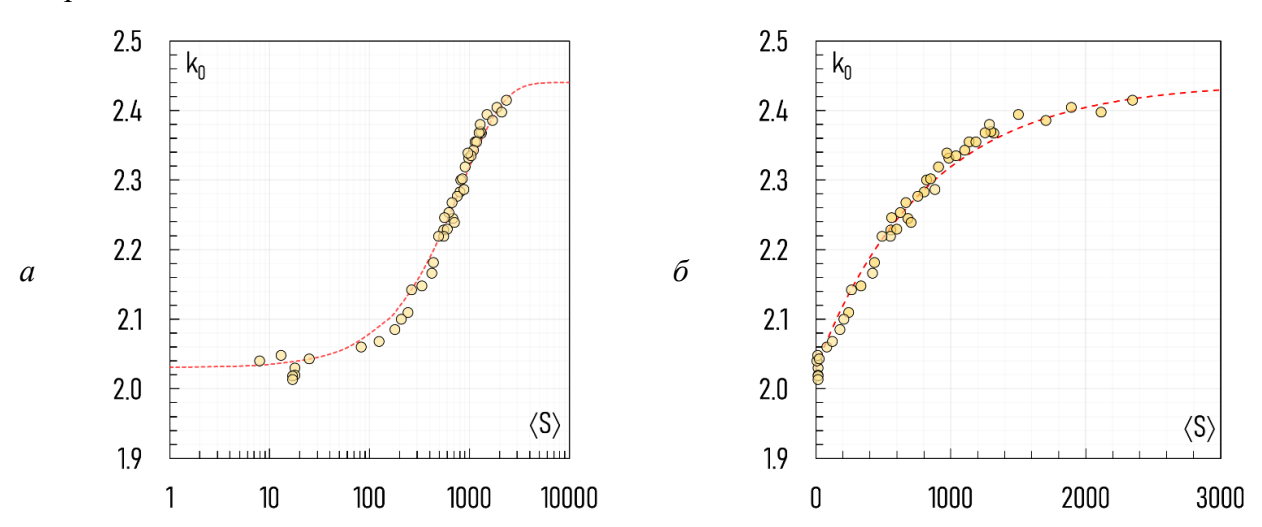
Patel, M., Geethika, B.R., Thomas, J. et al. Spatial mapping of low-pressure cluster jets using Rayleigh scattering // Sci.Rep. – 2023. – V.13. – P.6338.

при вариации  $T_0$ , влияние которой (1) не учитывает. Из полученных результатов следует, что развитие конденсации приводит к дополнительному уширению газового потока вне согласия с зависимостью (1), что ранее было отмечено в источниках [1-2]. Исходя из полученных результатов был сделан вывод, что коэффициент  $k_0$ , постоянный в отсутствие конденсации или в отсутствие ее изменения, возрастает с ростом размера кластеров и доли конденсата. Эффект уширения можно пояснить появлением дополнительной внутренней энергии молекул за счет выделения в поток скрытой теплоты конденсации [2, 27], приводящего к искажению адиабатичности [28], уменьшению  $\overline{J}$ , увеличению  $\theta_{\rm m}$  и, как следствие, уменьшению плотности газа на оси потока, что подтверждается экспериментальными данными [29].

Для внесения поправки в (1) экспериментальные значения  $k_0$  представлены в виде зависимости от среднего размера кластеров  $\langle S \rangle$  <sup>[10]</sup> (**рисунок 4**). Данные образуют монотонно возрастающую зависимость, нижний предел которой определяется постоянным значением  $k_0$  в режимах без конденсации <sup>[20]</sup>, а верхний порог насыщения — ограничением доли конденсата в струе, а также пределом эффективности рассеяния кластеров на фоновых частицах при стремлении отношения их масс к бесконечности <sup>[30]</sup>. Характер изменения  $k_0$  в рассмотренном диапазоне  $\langle S \rangle < 3000$  можно аппроксимировать зависимостью:

$$k_0(\langle S \rangle) = k_0^{\inf} + \Delta k_0 \left( 1 - e^{-\langle S \rangle / a_1} \right), \tag{4}$$

где  $k_0^{\rm inf} = 2.03$ ,  $k_0^{\rm up} = 2.44$ ,  $\Delta k_0 = k_0^{\rm up} - k_0^{\rm inf}$ ,  $a_1 = 825$  – постоянные численные коэффициенты. Модель поправки (4) апробирована в **Приложении Б** на режимах истечения из сверхзвуковых сопел различных конфигураций. Сравнение показывает хорошее совпадение: абсолютная погрешность < 0.3 мм, среднеквадратическое отклонение = 0.02 мм, а относительная погрешность < 2%.



**Рисунок 4** — Аппроксимация экспериментальных данных  $\bigcirc$ , полученных для различных сверхзвуковых сопел, моделью поправки (4): (*a*) — логарифмическая, (*б*) — линейная абсцисса.

Стоит отметить, выборка данных невелика, а справедливость модели продемонстрирована в узком диапазоне  $T_0$ , геометрических параметров сопел и только для

<sup>27</sup> Горчакова Н.Г., Сковородко П.А., Ярыгин В.Н. Влияние гомогенной конденсации на газодинамику и излучение свободной струи углекислого газа // ИФЖ. - 1985. - Т.49, № 1. - С.5-10.

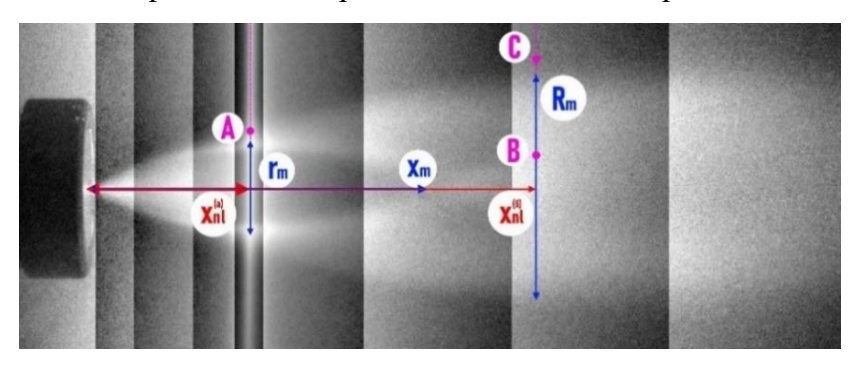
<sup>&</sup>lt;sup>28</sup> Авдуевский В.С., Иванов А.В. и др. Структура турбулентных недорасширенных струй, вытекающих в затопленное пространство и спутный поток // МЖГ. – 1972. – №3. – С.15–29.

Dubrovin K.A., Zarvin A.E., Kalyada V.V., Yaskin A.S., Dering E.D. Application of electron beam diagnostics for the study of rarefied clustered gas flows // Vacuum. – 2023. – V.218. – P.112652.

Korobeishchikov N.G., Skovorodko P.A., et al. Experimental and numerical study of high intensity argon cluster beams // AIP Conf. Proc. – 2014. – V.1628. – P.885–92.

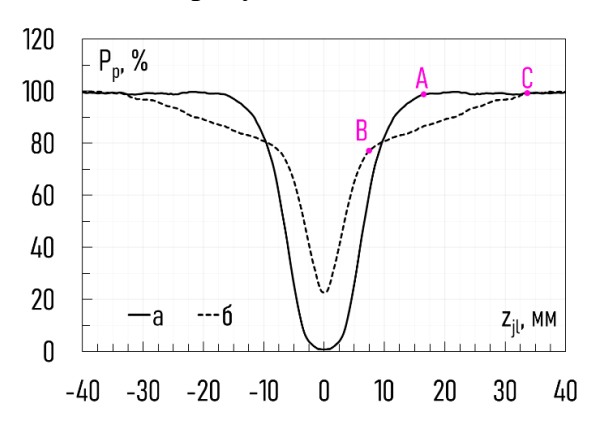
аргона, ввиду чего поправку (4) нельзя считать валидированной. В то же время, следует отметить, что в присутствие конденсации зависимость (1) справедлива лишь при  $\langle S \rangle < 50$ .

**Четвертая глава** посвящена исследованию взаимодействия частиц кластированного потока с фоновым окружением. В **§4.1** представлены измерения доли проникающего фонового газа  $P_p$  внутрь потока аргона с «кластерным следом» (**рисунок 5**) путём регистрации излучения добавленной в фоновый газ примеси азота или кислорода [24].



**Рисунок 5** — Визуализация потока аргона. СЗС, d\*=0.26 мм,  $P_0=400$  кПа,  $T_0=308.1$  K,  $P_{\infty}=2.93$  Па (Ar + N<sub>2</sub>),  $\langle S \rangle = 761$ ,  $x_{\rm nl}=39.4$  (a) и 108.4 (б) мм.

Сравнение поперечных профилей  $P_p$ , принимающих за 100% постоянное значение интенсивности, фиксируемое в фоновом пространстве, для указанных на **рисунке 5** сечений представлено на **рисунке 6**.

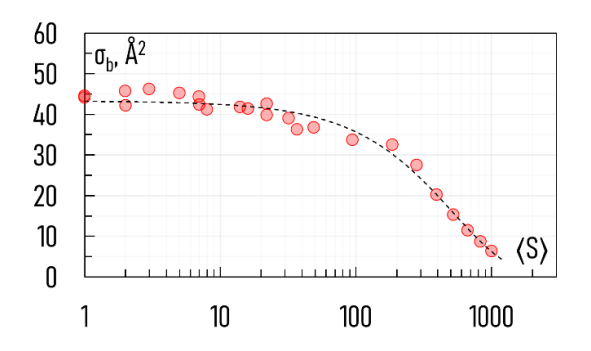


**Рисунок 6** — Сравнение поперечных профилей доли проникания  $P_p$ , зарегистрированных на расстояниях  $x_{nl} = 39.4$  (*a*) и 108.4 (*б*) мм от среза сопла (см. **рисунок 5**).

Установлено, что в области первой «бочки» (a) профиль проникания аналогичен тем, что были получены другими авторами <sup>[24]</sup>. В свою очередь, в области «кластерного следа» ( $\delta$ ) профиль проникания имеет нестационарную точку перегиба, соответствующую границе второй «бочки», а выход профиля на 100% наблюдается лишь за границей «кластерного следа», на основе чего можно сделать вывод, что «кластерный след» представляет собой газодинамический фактор, обусловленный процессом взаимодействия фонового окружения с частицами кластированного потока. Следует отметить, что в области второй «бочки» профиль  $P_{\rm p}$  не достигает 0%, что также согласуется с результатами <sup>[24]</sup>.

В §4.2 рассмотрен процесс рассеяния частиц кластированного потока на фоновом газе. Для исключения влияния столкновений частиц в потоке между собой, моделирование проведено в молекулярном пучке. Ввиду рабочего диапазона масс-спектрометра, анализ произведен при регистрации атомов и кластеров малого размера (< 1000 а.е.м.). В режиме истечения аргона при формировании кластеров размера  $\langle S \rangle \leq 50$  получены значения сечения рассеяния для атомов, димеров и тримеров:  $\sigma_b = 37$ , 17 и  $1.7 \cdot \text{Å}^2$ , соответственно. Можно предположить, что кластеры, обладая большей массой и импульсом, при схожем числе столкновений испытывают меньшее отклонение от прямолинейного движения, ввиду чего возникает вероятность их регистрации внутри заданного телесного угла, что приводит к уменьшению регистрируемого сечения рассеяния относительно значения для мономеров.

B(3) предполагается, что  $\sigma_{\rm h}$  неизменно при фиксированных параметрах конфигурации системы. Однако в §4.2 показано, что это значение для атомов аргона меняется при развитии процесса конденсации в потоке. На **рисунке 7** представлены измеренные значения  $\sigma_{\rm h}$  в зависимости от  $\langle S \rangle$ . На начальных стадиях конденсации измеряемое значение полного сечения рассеяния является постоянной величиной  $\sigma_h = 43 \pm 10 \text{ Å}^2$  для всех исследованных режимов истечения из различных сопел, что согласуется с источниками [22-23] и данными в **§2.3**, однако с ростом  $\langle S \rangle$  измеряемое значение  $\sigma_{\rm b}$  уменьшается. В работе [31] показано, что при развитии конденсации количество атомов, регистрируемых детектором в молекулярно-пучковой системе на приосевой области, снижается, что является следствием газодинамического разделения частиц по массам. Этот эффект приводит к тому, что регистрируемая детектором величина A мономерного сигнала в соизмеримых пропорциях складывается из нерассеянных атомов молекулярного пучка и продуктов деструкции, образующихся при столкновении кластеров с фоновыми частицами, что в конечном итоге приводит к искажению измеряемой величины  $\sigma_{k}$ . Также отметим, что ионизация кластеров в масс-спектрометре приводит к фрагментации (деструкции) кластеров [32], что в равной степени может иметь влияние на наблюдаемый эффект.



**Рисунок 7** — Зависимость экспериментальных значений сечения рассеяния  $\sigma_b$  атомов аргона в кластированном пучке от  $\langle S \rangle$ .

Обнаруженные эффекты демонстрируют, что кластеры в области «кластерного следа» испытывают многочисленные столкновения с фоновыми частицами, которые приводят к их постепенной фрагментации или полному распаду.

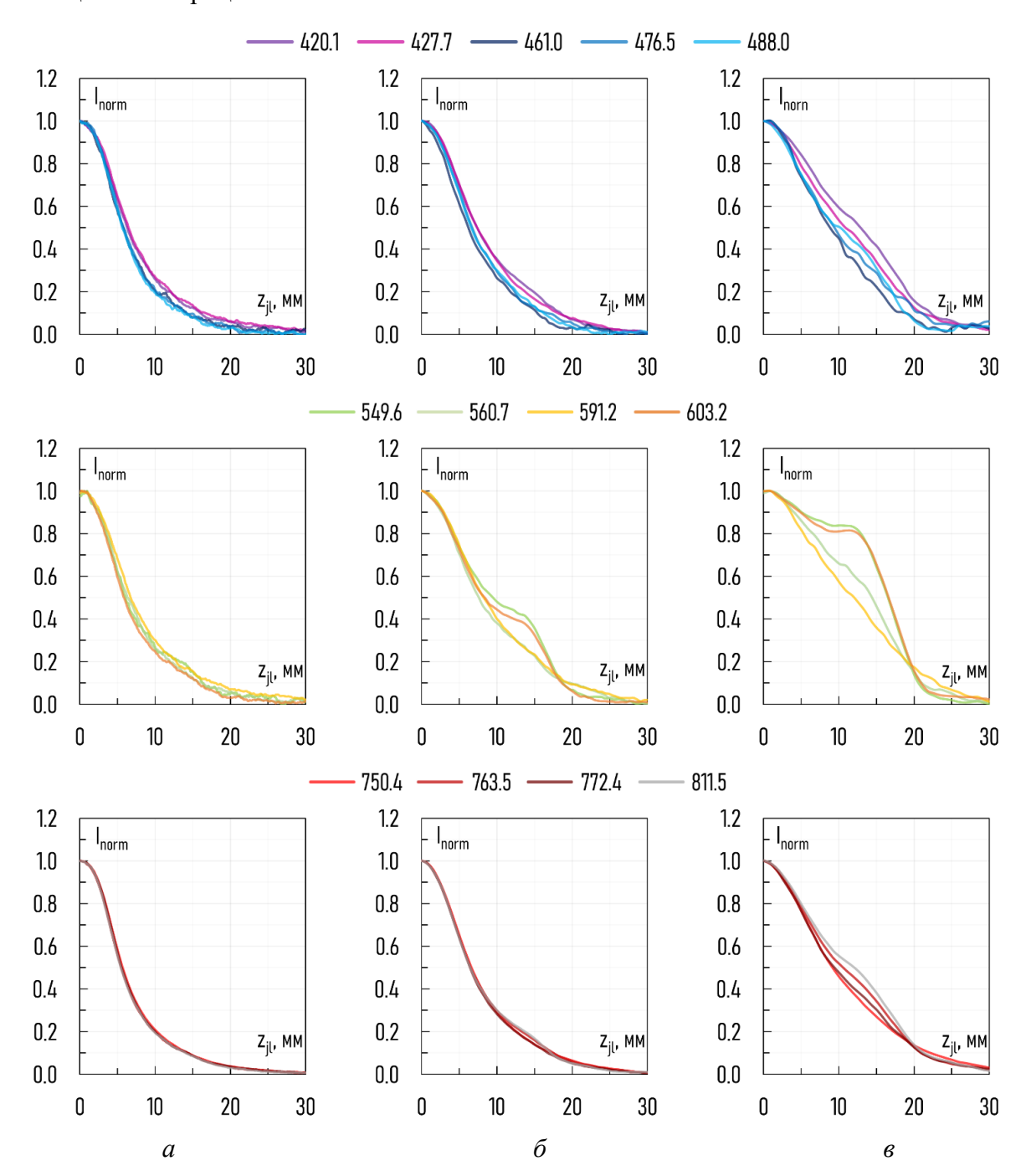
Пятая глава посвящена исследованию характерных особенностей излучения частиц кластированного потока, инициированного электронным пучком. В §5.1 показано, что излучение в области «кластерного следа» селективно и регистрируется только вне области возбуждения. На рисунке 8 представлены полученные поперечные профили нормированной интенсивности излучения для различных длин волн при расположении электронного пучка за первой «бочкой» струи в области распространения «кластерного следа» при смещении локализации измерений вниз по потоку от области возбуждения. Установлено, что во всём изученном диапазоне длин волн (280-900 нм) профили интенсивности излучения, регистрируемого в области с малыми временами жизни в возбужденных состояниях (а), являются идентичными (с учётом уширения за счёт выделения скрытой теплоты конденсации, см. §3.2). При смещении локализации измерений вниз по потоку от пучка электронов на 5 мм и более (б-в) профили интенсивности, зарегистрированные для различных переходов, различаются: на некоторых длинах волн регистрируется излучение в области «кластерного

Schütte S., Buck U. Strong fragmentation of large rare gas clusters by high energy electron impact // Int. J. Mass Spectrom. – 2002. – V.220. – P.183–92.

13

<sup>31</sup> Зарвин А.Е., Каляда В.В., Художитков В.Э. Особенности регистрации кластеров в сверхзвуковых недорасширенных струях методом молекулярно–пучковой масс-спектрометрии // ТиА. – 2017. – Т.24, N.5. – С.691–702.

следа», а на других — практически нет, что свидетельствует о наличии длительных релаксационных процессов [33].



**Рисунок 8** — Сравнение поперечных профилей нормированной интенсивности излучения для различных переходов аргона, зарегистрированных в потоке при расположении электронного пучка на расстоянии 93.8 мм от сопла и смещении локализации измерений относительно него на 0 (a), 5 ( $\delta$ ) и 15 ( $\epsilon$ ) мм вниз по потоку.

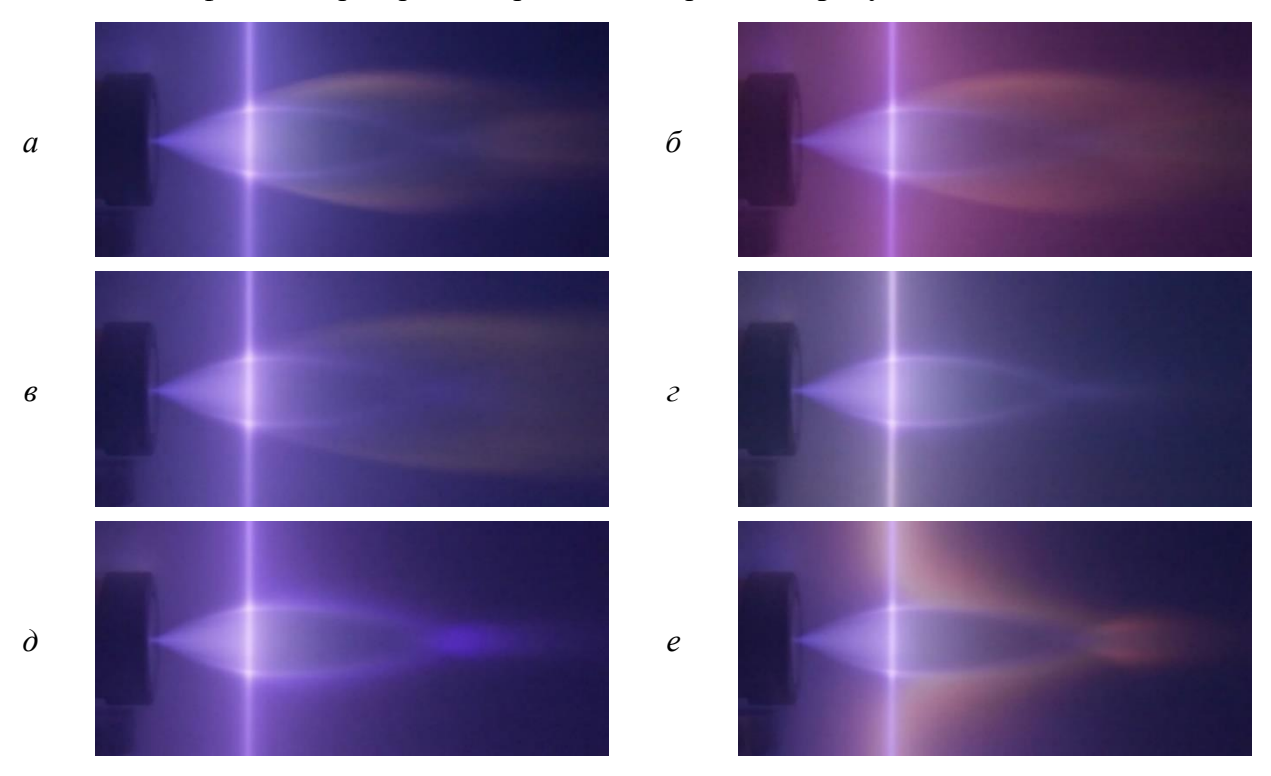
Показано, что наличие долгоживущих процессов релаксации и/или передачи энергии согласуется с результатами работы <sup>[34]</sup>, в которой представлено описание молекулярно-кластерного механизма селективного возбуждения отдельных уровней аргона и интенсификации излучения в жёлто-зелёной части спектра.

33 Хмель С.Я., Шарафутдинов Р.Г. Электронно–индуцированная флуоресценция кластеров двуокиси углерода (свободная струя конденсирующегося газа) // ЖТФ. – 1997. – Т.67, N.3. – С.43–52.

Madirbaev V.Zh., Zarvin A.E., Korobeishchikov N.G., Sharafutdinov R.G. Ion-cluster reactions initiated by an electron beam in mixtures of argon with methane and monosilane // Phys. Solid State. – 2002. – V.44. – P.515-7.

В §5.2 представлены результаты измерения среднего времени жизни частиц кластированного потока в возбужденном состоянии. Установлено, что данные по исследованным переходам аргона расслаиваются на две группы, коррелирующие с результатами §5.1, с характерными временами 2.5 и 10 мкс, что не согласуется с литературными данными для атомарных частиц и может свидетельствовать о более сложном процессе релаксации энергии внутри кластеров.

В §5.3 исследовано влияние газа источника и состава атмосферы на послесвечение кластированного потока. Установлено, что «кластерный след», образующийся в потоке СО<sub>2</sub>, аналогично оказывает сопротивление прониканию фоновому окружению, однако вместо интенсивного послесвечения в видимой и УФ областях спектра демонстрирует затемнение, что свидетельствует об отсутствии канала передачи энергии в излучательные переходы. Для изучения влияния состава атмосферы на послесвечение потока аргона были проанализированы режимы истечения с идентичными начальными параметрами при добавлении в фоновое пространство различных примесей (рисунок 9).



**Рисунок 9** — Визуализация кластированного потока аргона при истечении в атмосферу различного состава: (*a*) — Ar, (*б*) — Ar+N<sub>2</sub>, (*в*) — Ar+He, (*г*) — Ar+O<sub>2</sub>, (*д*) — Ar+CH<sub>4</sub>, (*e*) — Ar+CO<sub>2</sub>. C3C, d\*=0.26 мм,  $P_0=600$  кПа,  $P_\infty=4.7$  Па,  $T_0=320.1$  K,  $\langle S \rangle=1359$ .

Установлено, что при истечении кластированного потока аргона в атмосферу различного состава наблюдается не только изменение цвета и интенсивности послесвечения «кластерного следа» ( $\boldsymbol{\delta}$ ,  $\boldsymbol{\epsilon}$ ), но и его гашение в видимом диапазоне ( $\boldsymbol{z}-\boldsymbol{\epsilon}$ ), что подтверждается спектральными измерениями. Примечательно, что ввиду различия в эффективности рассеяния, при истечении в атмосферу различного состава наблюдается изменение размеров потока при идентичных начальных параметрах, что согласуется с высказанными в **третьей главе** предположениями.

На основе полученных данных сделан вывод, что наблюдаемое в «кластерном следе» длительное послесвечение обусловлено взаимодействием кластеров с частицами фонового пространства. В §5.4 проанализированы возможные варианты протекающих реакций энергообмена, в результате чего выделен двустадийный процесс столкновительного

энергообмена с передачей энергии от возбужденного кластера атому или молекуле фонового газа, удовлетворяющий всем полученным в работе результатам:

$$Ar_s + e \rightarrow Ar_s^* + e$$
,  $Ar_s^* + X \rightarrow X^* + Ar_s$ .

При этом наиболее вероятные энергии, передаваемые от кластеров к фоновым частицам, соответствуют переходам аргона в диапазоне длин волн от 500 до 600 нм. Данный процесс позволяет объяснить установленные в §3.1 условия наблюдения послесвечения «кластерного следа» при вариации начальных параметров истечения. При увеличении  $P_{\infty}$ интенсивность послесвечения увеличивается, т.к. растёт вероятность столкновения частиц фонового окружения с частицами «кластерного следа». С ростом  $P_0$  интенсивность послесвечения возрастает, т.к. с приращением доли конденсата увеличивается число кластеров, проходящих висячие скачки. В то же время, с ростом  $P_0$  увеличивается размер потока и линейное число Рейнольдса Rel, что приводит к «изолированности» струи от фонового газа, ввиду чего рост интенсивности послесвечения непропорционален. В свою очередь, при увеличении  $T_0$ , вместе с размерами «кластерного следа» уменьшается также и интенсивность его послесвечения, т.к. при постоянном значении Rel вместе с уменьшением вероятности преодоления висячих скачков уменьшается и вероятность передачи энергии фоновым частицам. В то же время, исходя из полученных данных, можно сделать вывод, что процесс энергообмена может быть значительно сложнее представленного варианта, в связи с чем целесообразно в дальнейшем на качественном и количественном уровне описать процесс энергообмена, излучения и гашения флуоресценции, что может являться объектом дальнейших работ при тесном взаимодействии исследователей экспериментального и теоретического профиля.

В Заключении представлены основные результаты, полученные при выполнении диссертационной работы.

## ОСНОВНЫЕ РЕЗУЛЬТАТЫ И ВЫВОДЫ

- 1. Осуществлена модернизация универсального газодинамического стенда ЛЭМПУС-2 отдела прикладной физики ФФ НГУ для проведения измерений в кластированных разреженных газовых потоках: адаптированы методики визуализации и количественных измерений численной плотности, температуры и полного сечения рассеяния частиц, разработано и сформировано два варианта оптического тракта со специальными затеняющими экранами, исключающими возможность регистрации фоновых шумов, произведено переоборудование системы вакуумной откачки, изготовлен комплект звуковых и сверхзвуковых сопел различных конфигураций, создана и установлена система вариации температуры торможения, установлена система натекания для вариации состава фонового окружения. Средства диагностики, основанные на методиках, взятых из литературных источников, валидированы в условиях пренебрежимо малой конденсации и апробированы в условиях истечения кластированных сверхзвуковых потоков различной степени разрежения.
- 2. Впервые обнаружено, что в условиях развитой конденсации за пределами струи образуется вторичный поток больших размеров («кластерный след»), обладающий уникальным послесвечением при инициации излучения электронным пучком, обусловленный прохождением кластеров через висячие скачки веретенообразной струи.
- 3. Предложена эмпирическая поправка, учитывающая влияние конденсированной фазы на геометрию сверхзвуковой недорасширенной струи.
- 4. Продемонстрировано, что частицы «кластерного следа» оказывают сопротивление прониканию фонового окружения внутрь струи. Установлено, что при рассеянии частиц кластированного потока на частицах фонового газа происходит фрагментации кластеров и формирование вторичного потока «кластерного следа».
- 5. Впервые обнаружен эффект селективности излучения, наблюдаемого в «кластерном следе», при возбуждении частиц потока электронным пучком. Установлено, что измеренные

времена жизни частиц кластированного потока в возбужденном состоянии отличаются (в большую сторону) от табулированных, определённых в равновесных условиях. Выявлено влияние состава фонового окружения на послесвечение «кластерного следа». Предложена эмпирическая модель процессов возбуждения, релаксации, энергообмена и излучения, протекающих в «кластерном следе».

## СПИСОК ПУБЛИКАЦИЙ АВТОРА ПО ТЕМЕ ДИССЕРТАЦИОННОЙ РАБОТЫ

- 1. Дубровин К.А., Зарвин А.Е., Каляда В.В., Художитков В.Э., Яскин А.С. Исследование структуры потока на малогабаритном газодинамическом комплексе: идентификация вторичного потока при истечении кластированной сверхзвуковой струи в разреженное пространство // ПМТФ. − 2018. − Т.59. − №.5. − С.48-58.
- 2. Дубровин К.А., Зарвин А.Е., Каляда В.В., Яскин А.С. Причины свечения аномального вторичного потока в сверхзвуковых кластированных струях, возбужденных высоковольтным электронным пучком // ПЖТФ. − 2020. − Т.46. № 7. − С.32–5.
- 3. Zarvin A.E., Yaskin A.S., Dubrovin K.A., Kalyada V.V. Visualization of low-density gas-dynamic objects in full-scale processes modelling on small experimental plants // Vacuum. 2021. V.191. P.110409.
- 4. Zarvin A.E., Madirbaev V.Zh., Dubrovin K.A., Kalyada V.V. On the mechanism of ionic-cluster excitation of argon levels in molecular gas mixtures // Plasma Chem. Plasma Process. 2022. V.42. P.247–65.
- 5. Дубровин К.А., Зарвин А.Е., Каляда В.В., Яскин А.С. The influence of condensation on the supersonic flow sizes // ПЖТФ. 2022. Т.48. №.12. С.36-9.
- 6. Дубровин К.А., Зарвин А.Е., Горбачев Ю.Е., Яскин А.С., Каляда В.В. Особенности процесса энергообмена в кластированном потоке аргона при инициации излучения электронным пучком // ФХКГД. − 2022. − Т.23. − № 4. − С.1−17.
- 7. Dubrovin K.A., Zarvin A.E., Kalyada V.V., Yaskin A.S. Influence of the outflow initial parameters on the transverse dimensions of underxpanded argon jets in presence of condensation // Vacuum. 2023. V.207. P.111651.
- 8. Дубровин К.А., Зарвин А.Е., Каляда В.В., Яскин А.С. К модели метрирования сверхзвуковых недорасширенных газовых струй в условиях конденсации // ТиА. 2023. Т.2. №.2. С.227—37.
- 9. Dubrovin K.A., Zarvin A.E., Kalyada V.V., Yaskin A.S., Dering E.D. Application of electron beam diagnostics for the study of rarefied clustered gas flows // Vacuum. 2023. V.218. P.112652.
- 10. Дубровин К.А., Зарвин А.Е., Ребров А.К. Specific Features of Formation of Supersonic Jets of Rarefied Gases under Conditions of Developed Condensation // ПМТФ. 2023. Т.64. № 5 С.70-83.
- 11. Zarvin A.E., Madirbaev V.Zh., Dubrovin K.A., Yaskin A.S. Analysis of the causes of the inverse population of atomic argon levels in condensing supersonic flows of mixtures // Fluid Dyn. − 2023. − V.58. − № 8. − P.1668−83.
- 12. Зарвин А.Е., Дубровин К.А., Бондарь Е.А., Ярков Л.В. и др. Экспериментальное и численное моделирование истечения сверхзвуковых струй в разреженную среду. Часть 1: течения без влияния конденсации // ФХКГД. − 2024. − Т.25. − № 2. − С.1−20.
- 13. Dubrovin K.A., Yarkov L.V., Zarvin A.E., Zaitsev A.V., et al. Numerical and Experimental Simulation of Supersonic Gas Outflow into a Low-Density Medium // Aerospace. 2024. V.11. №.11. P.905.

Подписано в печать «» 202 г.	
Формат бумаги 60×84 1/16. Усл. печ. л. 1.0.	
Тираж 100 экз., заказ №	

Отпечатано в Институте теплофизики им. С.С. Кутателадзе СО РАН 630090, г. Новосибирск, пр. Академика Лаврентьева, 1